

# 甲醛对雌性大鼠卵巢组织 Fas 液亡途径 相关基因表达的影响

彭国庆<sup>1,2</sup>, 钟才高<sup>1</sup>, 张琼<sup>2</sup>, 谢颖<sup>1</sup>, 龚凤英<sup>2</sup>

(中南大学 1. 公共卫生学院卫生毒理学系, 长沙 410078; 2. 湘雅医院妇产科, 长沙 410008)

[摘要] 目的: 观察甲醛对雌性大鼠卵巢组织 Fas, caspase-8 和 caspase-3 表达的影响, 探讨甲醛对雌性大鼠卵巢毒性的分子机制。方法: 将 40 只雌性 SD 大鼠随机分为正常对照组和 3 个不同浓度甲醛处理组, 腹腔注射甲醛, 剂量分别为 20.0, 2.0 和 0.2 mg/kg, 每天 1 次, 连续 14 d 后处死所有大鼠后取卵巢组织, 用 RT-PCR 检测 Fas 和 caspase-8 mRNA 表达, Western 印迹检测 Fas 蛋白表达, 分光光度法检测 caspase-8 和 caspase-3 的活性。结果: 甲醛染毒组动物卵巢组织 Fas 与 caspase-8 mRNA 表达以及 caspase-8 和 caspase-3 活性明显高于对照组, 且随剂量的增加而增加 ( $P < 0.05$ )。结论: Fas 基因表达与 caspase 活性的增强可能是甲醛诱导雌性动物卵巢毒性的主要机制。

[关键词] 甲醛; 大鼠; 卵巢毒性; Fas; caspase

DOI:10.3969/j.issn.1672-7347.2010.04.010

## Effect of formaldehyde on expressions of Fas apoptosis pathway-related genes of ovary tissues in female rats

PENG Guoqing<sup>1,2</sup>, ZHONG Caigao<sup>1</sup>, ZHANG Qiong<sup>2</sup>, XIE Ying<sup>1</sup>, GONG Fengying<sup>2</sup>

(1. Department of Toxicology, School of Public Health, Central South University,

Changsha 410078; 2. Department of Obstetrics and Gynecology, Xiangya Hospital,

Central South University, Changsha 410008, China)

**Abstract:** **Objective** To explore the mechanism of formaldehyde inducing ovarian toxicity in female rats by observing the effect of formaldehyde on the expression of Fas and caspase-8 mRNA, and the activity of caspase-3 and caspase-8 of ovary tissues in female rats. **Methods** Forty female Sprague-Dawley (SD) rats were randomly divided into a control group and 3 formaldehyde groups at different concentrations. The rats in the formaldehyde groups were intraperitoneally injected different doses of formaldehyde (20.0, 2.0 and 0.2 mg/kg) continuously for 14 days. After 14 days, all rats were sacrificed and their ovaries were collected for detecting the expression of Fas and caspase-8 mRNA with RT-PCR, the protein expression of Fas with Western blot, and the activities of caspase-8 and caspase-3 with spectrophotometric method. **Results** Compared with the control group, the expression of Fas mRNA and its protein and caspase-8 mRNA and the activity of caspase-8 and

收稿日期(Date of reception) 2009-07-23

作者简介(Biography) 彭国庆, 博士研究生, 副主任医师, 主要从事生殖毒理学研究。

通信作者(Corresponding author) 钟才高, E-mail:zcg54@hotmail.com

基金项目(Foundation items) 湖南省自然科学基金(07JJ5094); 湖南省科技厅科技计划项目(2007FJ4158, 2007SK3028)。 This work was supported by Natural Science Foundation of Hunan Province (07JJ5094), Technology Plan Project from Science and Technology Committee of Hunan Province (2007FJ4158, 2007SK3028), P. R. China.

caspase-3 of ovary tissues in the rats treated with formaldehyde significantly increased with dose ( $P < 0.05$ )。Conclusion The increase of Fas gene expression and the activity of caspase-8 and caspase-3 may be the important mechanism of ovarian toxicity induced by formaldehyde in female rats.

**Key words:** formaldehyde; rat; ovarian toxicity; Fas; caspase

甲醛是城市生态系统中的重要污染物,对人体健康造成了极大的危害,已被世界卫生组织确认为致癌和致畸物质<sup>[1]</sup>。甲醛对人体健康的影响涉及诸多方面,主要有眼和呼吸道的刺激症状、过敏性变态反应性皮炎、肝脏损害、肺脏损害、神经毒作用、遗传毒性等<sup>[2]</sup>。近年来,甲醛的生殖毒性已经受到研究者的广泛关注。已有研究<sup>[3-4]</sup>发现:甲醛能对雌性小鼠的动情周期及卵巢造成不良影响,使雌性小鼠卵巢生殖细胞发生DNA-蛋白质交联效应。笔者的前期实验<sup>[5]</sup>也发现,甲醛对SD雌性大鼠卵巢储备功能有一定损害,本实验是在前期实验的基础上,进一步研究甲醛对雌性大鼠卵巢毒性的分子机制。

## 1 材料与方法

### 1.1 材料

#### 1.1.1 主要试剂

甲醛购自上海溶剂厂,Fas多克隆抗体为美国Santa Cruz公司产品,Actin单克隆抗体及二抗购自美国Sigma公司,ECL显色试剂盒购自美国通用公司,TRIzol为美国MRC公司产品,反转录试剂盒、Taq酶及dNTP为美国Fermentas公司产品,Fas,caspase-8和GAPDH引物由上海博亚生物技术公司提供,caspase-8和caspase-3活性检测试剂盒购自江苏碧云天生物技术公司。

#### 1.1.2 动物

健康清洁级8周龄雌性SD大鼠40只,购自中南大学湘雅医学院动物实验学部提供,动物生产许可证编号:SCXK(湘)2006-0002,体质量( $160 \pm 10$ )g,发育良好,自由饮水进食,普通饲料食喂养。

### 1.2 方法

#### 1.2.1 动物分组及模型制备

受试雌性大鼠适应性饲养1周后,随机分为4

组,即正常对照组、低剂量甲醛组(0.2 mg/kg)、中剂量甲醛组(2.0 mg/kg)、高剂量甲醛组(20.0 mg/kg),每组各10只。各试验组动物,在常规消毒下,均采用腹腔注射甲醛,1次/d,连续14 d。

染毒结束第2天处死动物,取左侧卵巢组织,迅速放入液氮中保存以提取RNA;取右侧卵巢组织,于液氮中速冻后转于-70℃冰箱保存用于提取蛋白。

#### 1.2.2 观察指标及检测方法

##### 1.2.2.1 Fas与caspase-8 mRNA表达检测

用RT-PCR技术测定,总RNA提取及反转录反应按试剂盒说明书步骤进行。引物序列均根据GenBank数据库,用Primer3软件辅助设计,Fas上游引物:5'-GACAGTTCCCTCCCCACCATCTTG-3',下游引物:5'-CCTGCTGTGCCATCGTCTGCTT-3',扩增产物长度193 bp;caspase-8上游引物:5'-GT-TCTCTCAGTTGCCTTTC-3',下游引物:5'-AGCTGTA-ACCTGTCGCCAGTCCC-3',扩增产物长度210 bp;GAPDH上游引物:5'-CTACCCACGGCAAGTTCAAT-3',下游引物:5'-GGATGCAGGGATGATGTTCT-3',扩增产物长度501 bp。PCR反应总体积为25 μL,包括:10×缓冲液2.5 μL,25 mmol/L MgCl<sub>2</sub> 2 μL,10 mmol/L dNTP 2.5 μL,5 μmol/L GAPDH上下游引物各1 μL,10 μmol/L Fas(或caspase-8)上下游引物各1 μL,5 U/μL TaqDNA聚合酶0.3 μL,cDNA 1 μL,ddH<sub>2</sub>O 12.7 μL。反应条件:95℃预变性5 min;94℃变性30 s,55℃退火30 s,72℃延伸40 s,循环35次;72℃延伸10 min。PCR产物于1.5%琼脂糖凝胶中电泳,SYNGENE凝胶成像系统对各电泳带的光密度进行分析,计算目的基因与同管内参照GAPDH的光密度的比值,即为目的基因mRNA表达的半定量结果。

##### 1.2.2.2 Fas蛋白表达测定

用Western印迹技术检测蛋白表达,在液氮低温

下用  $2 \times$  SDS 裂解液裂解组织,  $4^{\circ}\text{C}$   $12\,000\text{ r/min}$  离心  $10\text{ min}$ , 取上清液中蛋白以 BCA 法测定蛋白浓度, 加上样缓冲液混合煮沸  $5\text{ min}$  后, 取  $20\text{ }\mu\text{g}$  蛋白上样加入  $10\%$  SDS-聚丙烯酰胺凝胶, 在恒压  $80\text{ V}$  下电泳分离后, 以恒压  $120\text{ V}$  将蛋白转移至聚偏二氟乙烯(PVDF)膜上, 用含  $5\%$  脱脂奶粉室温封闭  $1\text{ h}$ , 加入一抗(Fas 抗体浓度为  $1:500$ , actin 抗体浓度  $1:20\,000$ )  $4^{\circ}\text{C}$  过夜, 洗膜后加二抗( $1:5\,000$ )室温孵育  $1\text{ h}$ , 洗膜后用 ECL 液显色  $5\text{ min}$ , 移至暗室中 X 线片曝光, 显影, 定影。将 X 线片扫描后, 采用 QUANTITY1 软件分析各条带灰度值, 将各目的条带灰度值除以同一标本内参照 actin 条带灰度值, 再除以同一胶片上对照组的比值, 即为该目的蛋白表达量的半定量结果。

#### 1.2.2.3 Caspase-8 和 caspase-3 酶活性检测

用分光光度法检测酶活性, 按试剂盒说明书步骤进行。先用裂解液提取蛋白, Bradford 法测定蛋白浓度; 在  $100\text{ }\mu\text{L}$  检测体系中: 各样本取相同含量的蛋白, 加  $10\text{ }\mu\text{L}$  caspase-8 或 caspase-3 检测底物, 以检测缓冲液补至  $100\text{ }\mu\text{L}$ ;  $37^{\circ}\text{C}$  孵育约  $120\text{ min}$ , 待颜色变化比较明显时, 酶标仪上测定  $405\text{ nm}$  波长的吸光度值; 根据标准曲线求得各样本酶活性。

#### 1.3 统计学处理

采用 SPSS 13.0 统计分析软件, 数据以均数  $\pm$  标准差( $\bar{x} \pm s$ )表示, 组间比较采用单因素方差分析,  $P < 0.05$  为差异有统计学意义。

## 2 结果

### 2.1 Fas mRNA 及蛋白表达

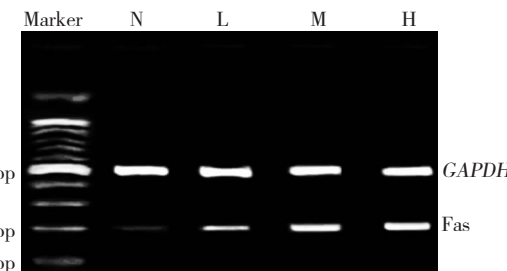
RT-PCR 结果显示, 对照组大鼠卵巢组织 Fas mRNA 低表达, 甲醛可使大鼠卵巢组织 Fas mRNA 表达明显增多, 且随着浓度的增高, Fas mRNA 表达增强(表 1, 图 1); Western 印迹结果显示, 对照组大鼠卵巢组织有少量 Fas 蛋白表达, 甲醛可使大鼠卵巢组织 Fas 蛋白表达增多, 且随着浓度的增高, Fas 蛋白表达增强(表 1, 图 2)。

**表 1 甲醛对雌性大鼠卵巢组织 Fas 基因及蛋白表达的影响**  
( $\bar{x} \pm s$ ,  $n = 10$ )

**Tab. 1 Effects of formaldehyde on Fas gene and protein expression of ovary tissues in female rats ( $\bar{x} \pm s$ ,  $n = 10$ )**

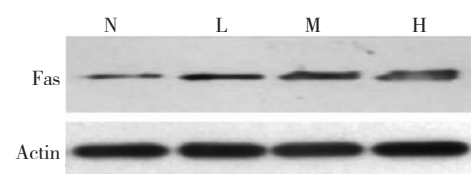
组别	Fas/GAPDH	Fas/actin
对照组	$0.23 \pm 0.06$	$1.00 \pm 0.00$
低剂量组	$0.47 \pm 0.05^*$	$1.82 \pm 0.17^*$
中剂量组	$0.61 \pm 0.09^{*\triangle}$	$2.65 \pm 0.26^{*\triangle}$
高剂量组	$0.79 \pm 0.11^{*\triangle\#}$	$3.80 \pm 0.23^{*\triangle\#}$

与对照组比较, \*  $P < 0.05$ ; 与低剂量组比较,  $\triangle P < 0.05$ ; 与中剂量组比较, #  $P < 0.05$ 。



**图 1 甲醛对雌性大鼠卵巢组织 Fas mRNA 表达的影响。**  
Marker: DNA 标准物; N: 对照组; L: 低剂量组; M: 中剂量组; H: 高剂量组。

**Fig. 1 Effects of formaldehyde on Fas mRNA of ovary tissues in female rats.** Marker: DNA marker; N: Control group; M: Medium dose group; L: Low dose group; H: High dose group.



**图 2 甲醛对雌性大鼠卵巢组织 Fas 蛋白表达的影响。** N: 对照组; L: 低剂量组; M: 中剂量组; H: 高剂量组。

**Fig. 2 Effects of formaldehyde on the expression of Fas protein of ovary tissues in female rats.** N: Control group; M: Medium dose group; L: Low dose group; H: High dose group.

### 2.2 Caspase-8 mRNA 和 caspase-8, caspase-3 酶活性

对照组大鼠卵巢组织 caspase-8 mRNA 仅有微弱表达, 低浓度甲醛即可使大鼠卵巢组织 caspase-8 mRNA 表达增多, 随着浓度的增高, caspase-8

mRNA 表达增强(表 2, 图 3)。对照组大鼠卵巢组织 caspase-8 和 caspase-3 酶活性均较低, 甲醛染毒后, caspase-8 和 caspase-3 酶活性明显增强, 且

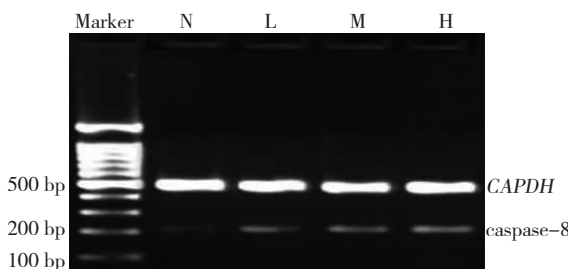
caspase-8 和 caspase-3 酶活性与甲醛浓度呈明显的剂量依赖性(表 2)。

**表 2 甲醛对雌性大鼠卵巢组织 caspase-8 mRNA 表达及 caspase-8, caspase-3 酶活性的影响( $\bar{x} \pm s$ ,  $n=10$ )**

**Tab. 2 Effects of formaldehyde on caspase-8 mRNA expression, caspase-8 and caspase-3 activity of ovary tissues in female rats ( $\bar{x} \pm s$ ,  $n=10$ )**

组别	caspase-8/GAPDH	caspase-8 酶活性	caspase-3 酶活性
对照组	0.12 ± 0.05	9.018 ± 1.486	15.588 ± 3.561
低剂量组	0.31 ± 0.07 *	26.101 ± 1.370 *	31.180 ± 2.221 *
中剂量组	0.48 ± 0.10 *△	37.030 ± 2.806 *△	48.190 ± 3.157 *△
高剂量组	0.56 ± 0.08 *△	51.065 ± 3.103 *△#	74.380 ± 3.911 *△#

与对照组比较, \*  $P < 0.05$ ; 与低剂量组比较, △  $P < 0.05$ ; 与中剂量组比较, #  $P < 0.05$ 。



**图 3 甲醛对雌性大鼠卵巢组织 caspase-8 mRNA 的影响。**

Marker: DNA 标准物; N: 对照组; L: 低剂量组; M: 中剂量组; H: 高剂量组。

**Fig. 3 Effects of formaldehyde on caspase-8 mRNA of ovary tissues in female rats.** Marker: DNA marker; N: Control group; M: Medium dose group; L: Low dose group; H: High dose group.

### 3 讨 论

甲醛是一种无色、具有强烈刺激性气味的气体, 是住宅室内常见的装修型化学性空气污染物。环境中甲醛以其来源广、持续时间长、毒性大等特点受到人们广泛关注。国内外已有关于甲醛对动物生殖毒性危害的报道<sup>[5]</sup>。

Fas 途径是介导细胞凋亡的重要信号转导通路。Mor 等<sup>[6]</sup>研究发现: Fas 介导的细胞凋亡参与了哺乳动物卵泡的发育及闭锁过程<sup>[7]</sup>。Porter 等<sup>[8-9]</sup>发现: 在哺乳动物正常的卵巢颗粒细胞及卵

泡上均有 Fas 及其配体的表达, 但闭锁的卵泡上 Fas 表达增强。本研究发现在正常大鼠卵巢组织中, Fas mRNA 及蛋白均呈低表达, 而经甲醛染毒后, 卵巢组织中的 Fas mRNA 及蛋白表达均明显增多, 且随甲醛浓度越高, Fas 的表达越强; 提示甲醛可能通过上调 Fas 的表达, 抑制卵母细胞的增殖及诱导凋亡, 从而导致卵泡闭锁。

Caspase 是 Fas 介导的细胞凋亡途径中的蛋白水解酶, Fas 与其配体结合后, 可激活 caspase-8, 活化的 caspase-8 又可通过信号的级联反应, 将具有效应作用的 caspase-3 激活, caspase-3 可直接作用于 DNA 介导细胞凋亡的发生<sup>[10]</sup>。在人类卵泡细胞凋亡和卵泡闭锁过程中, caspase-3 的活性比 DNA 碎片出现的时间更早, 故认为 caspase 活化后导致的 DNA 碎片可能是卵泡闭锁的重要机制<sup>[11-12]</sup>。本实验结果显示: 在正常大鼠卵巢组织中, caspase-8 mRNA 仅有弱表达, caspase-8 和 caspase-3 活性较低, 甲醛染毒后, caspase-8 mRNA 的表达明显增多, caspase-8 和 caspase-3 活性增强, 其随着甲醛浓度的增高, caspase-8 mRNA 的表达越多, caspase-8 和 caspase-3 的活性越强, 呈明显的浓度梯度依赖性。因此, caspase-8 和 caspase-3 可能参与了甲醛诱导的卵巢细胞凋亡及卵泡闭锁。

综上所述, 甲醛可能通过诱导 Fas 表达、促进 caspase-8 和 caspase-3 的活性来促进卵巢细胞凋

## 参考文献:

- [ 1 ] Kupczewska-Dobcka M. Assessment of carcinogenicity of formaldehyde based on the newest literature data [ J ]. Med Pr , 2007 , 58 ( 6 ) : 527-539 .
- [ 2 ] Tang X , Yang B , Anh D , et al . Formaldehyde in China : production , consumption , exposure levels , and health effects [ J ]. Environ Int , 2009 , 35 ( 8 ) : 1210-1224 .
- [ 3 ] 王伟, 唐明德, 易义珍, 等. 甲醛对雌性小鼠动情周期及卵巢的影响 [ J ]. 实用预防医学, 2002 , 9 ( 6 ) : 641-643 .  
WANG Wei , TANG Mingde , YI Yizhen , et al . The effects of formaldehyde on estrous cycle and ovary of female mice [ J ]. Practical Preventive Medicine , 2002 , 9 ( 6 ) : 641-643 .
- [ 4 ] 刘丹丹, 王博. 气态甲醛致雌性小鼠生殖细胞 DNA-蛋白交联的研究 [ J ]. 生态毒理学报, 2006 , 1 ( 3 ) : 249-253 .  
LIU Dandan , WANG Bo . Study on DNA-protein crosslinks of reproductive cell of female mice induced by formaldehyde [ J ]. Asian Journal of Ecotoxicology , 2006 , 1 ( 3 ) : 249-253 .
- [ 5 ] 彭国庆, 钟才高, 张琼, 等. 甲醛对雌性大鼠卵巢储备功能的影响 [ J ]. 癌变·畸变·突变, 2010 , 22 ( 1 ) : 32-34 .  
PENG Guoqi , ZHONG Caigao , ZHANG Qiong , et al . Effects of formaldehyde on ovarian reserve function in female rats [ J ]. Carcinogenesis , Teratogenesis & Mutagenesis , 2010 , 22 ( 1 ) : 32-34 .
- [ 6 ] 谢颖. 甲醛的生殖毒性 [ J ]. 工业卫生与职业病 , 2002 , 28 ( 2 ) : 118-120 .  
XIE Yin . Reproductive toxicity of formaldehyde [ J ]. Industrial Health and Occupational Diseases , 2002 , 28 ( 2 ) : 118-120 .
- [ 7 ] Mor G , Straszewski S , Kamsteeg M . Role of the Fas/Fas ligand system in female reproductive organs : survival and apoptosis [ J ]. Biochem Pharmacol , 2002 , 64 ( 9 ) : 1305-1315 .
- [ 8 ] Porter D A , Vickers S L , Cowan R G , et al . Expression and function of Fas antigen vary in bovine granulosa and theca cells during ovarian follicular development and atresia [ J ]. Biol Reprod , 2000 , 62 ( 1 ) : 62-66 .
- [ 9 ] Porter D A , Harman R M , Cowan R G , et al . Relationship of Fas ligand expression and atresia during bovine follicle development [ J ]. Reproduction , 2001 , 121 ( 4 ) : 561-566 .
- [ 10 ] Jian X , Cheng G , Tang H F , et al . Ardinpusilloide I induces apoptosis in human glioblastoma cells through a caspase-8-independent FasL/Fas-signaling pathway [ J ]. Environ Toxicol Pharmacol , 2009 , 27 ( 2 ) : 264-270 .
- [ 11 ] Glamoclija V , Vilović K , Saraga-Babić M , et al . Apoptosis and active caspase-3 expression in human granulosa cells [ J ]. Fertil Steril , 2005 , 83 ( 2 ) : 426-431 .
- [ 12 ] Uchida K , Nishizuka M , Ohmori D , et al . Follicular epithelial cell apoptosis of atretic follicles within developing ovaries of the mosquito Culex pipiens pallens [ J ]. J Insect Physiol , 2004 , 50 ( 10 ) : 903-912 .

(本文编辑 彭敏宁)